Comportamento dos Sistemas Analógicos na Presença do Ruído

Edmar José do Nascimento (Princípios de Comunicações) http://www.univasf.edu.br/~edmar.nascimento

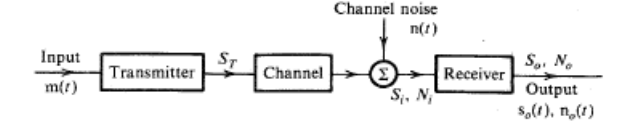
Universidade Federal do Vale do São Francisco

Roteiro

- 1 Introdução
- Sistemas Modulados em Amplitude
- 3 Sistemas Modulados em Ângulo

Sistemas Analógicos com Ruído

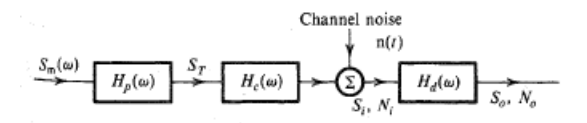
 Um sistema de comunicação analógico pode ser representado esquematicamente pela figura abaixo



- O canal pode ocasionar distorção e atenuação, além da adição de ruído
- A potência na entrada do receptor S_i é proporcional à potência transmitida S_T
- A SNR na saída do receptor S_o/N_o é uma medida do desempenho do sistema de comunicação

Sistemas em Banda Básica (Baseband)

- Uma transmissão em banda básica é aquela em que o sinal é transmitido sem modulação
- É de interesse comparar a SNR na saída do receptor para os sistemas modulados tendo como referência um sistema em banda básica
- Um sistema em banda básica pode ser representado pela seguinte figura



Sistemas em Banda Básica (Baseband)

- Para o modelo da figura, tem-se que:
 - O sinal de entrada m(t) é representado por um processo aleatório, estacionário no sentido amplo com média nula e limitado em freqüência a BHz
 - O transmissor é apenas um filtro passa-baixas $H_p(\omega)$ cujo objetivo é limitar a banda do sinal m(t)
 - O receptor é apenas um filtro passa-baixas $H_d(\omega)$ cujo objetivo é eliminar o ruído fora da banda do sinal
 - H_c(ω) representa a distorção do canal
- Considerando que $H_p(\omega)$ e $H_d(\omega)$ são ideais e que o canal não introduz distorção $H_c(\omega)=1$, S_o/N_o é calculado da seguinte maneira

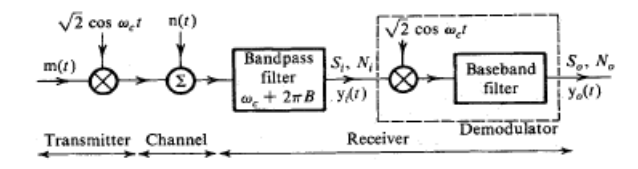
Sistemas em Banda Básica (Baseband)

- Considerando que $H_p(\omega)$ e $H_d(\omega)$ são ideais e que o canal não introduz distorção $H_c(\omega)=1$, S_o/N_o
- Como o sinal é limitado em freqüência a BHz, pode-se utilizar o modelo de ruído branco passa-baixas com DEP $S_n(\omega) = \mathcal{N}/2$ assim tem-se que:

$$S_o = S_i$$
 $N_o = \frac{1}{2\pi} \int_{-2\pi B}^{2\pi B} S_n(\omega) d\omega = \mathcal{N}B$
 $\frac{S_o}{N_o} = \frac{S_i}{\mathcal{N}B} = \gamma$

• Em que γ foi assim definido para efeito de comparação com os sistemas modulados

 Um sistema DSB-SC pode ser representado pelo modelo indicado abaixo



- Nesse modelo, S_i representa a potência útil do sinal na entrada do demodulador e S_o na saída
- N_o representa a potência do ruído na saída do demodulador

• Na entrada do demodulador, o sinal $y_i(t)$ é dado por

$$y_i(t) = \sqrt{2}m(t)\cos\omega_c t + n(t)$$

$$= \sqrt{2}m(t)\cos\omega_c t + n_c(t)\cos\omega_c t + n_s(t)\sin\omega_c t$$

$$= [\sqrt{2}m(t) + n_c(t)]\cos\omega_c t + n_s(t)\sin\omega_c t$$

• Na demodulação, o sinal $y_i(t)$ é multiplicado por $\sqrt{2}\cos\omega_c t$ e depois é filtrado (passa-baixas), resultando no sinal $y_o(t)$

$$\sqrt{2}\cos\omega_c t y_i(t) = [2m(t) + \sqrt{2}n_c(t)]\cos^2\omega_c t + \sqrt{2}n_s(t)\sin\omega_c t \cos\omega_c t
= [m(t) + \frac{n_c(t)}{\sqrt{2}}](1 + \cos 2\omega_c t) + \frac{n_s(t)}{\sqrt{2}}\sin 2\omega_c t
y_o(t) = m(t) + \frac{1}{\sqrt{2}}n_c(t)$$

As potências são calculadas da seguinte maneira:

$$S_{i} = \overline{\varphi_{AM-DSB-SC}^{2}(t)} = \overline{[\sqrt{2}m(t)\cos\omega_{c}t]^{2}}$$

$$= 2\overline{[m(t)\cos\omega_{c}t]^{2}} = 2\overline{\frac{m^{2}(t)}{2}} = \overline{m^{2}(t)}$$

$$S_{o} = \overline{m^{2}(t)} = S_{i}, \quad N_{o} = \frac{1}{2}\overline{n_{c}^{2}(t)}$$

 Para o ruído branco passa-faixa na banda 4πB rad/s, tem-se que:

$$\overline{n_c^2(t)} = \overline{n_s^2(t)} = \overline{n^2(t)} = 2NB \Longrightarrow N_o = NB$$

Assim, a SNR na saída do demodulador é dada por:

$$\frac{S_o}{N_o} = \frac{S_i}{NB} = \gamma$$

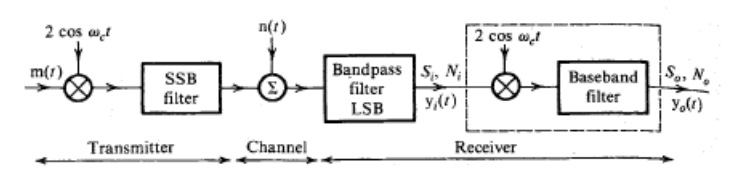
 Ou seja, para uma potência S_i fixada, a SNR na saída para sistemas AM-DSB-SC é igual à SNR para o sistema em banda básica

 Um sinal SSB-SC pode ser representado no domínio do tempo por:

$$\varphi_{BLI}(t) = m(t)\cos\omega_c t + m_h(t)\sin\omega_c t$$

$$\varphi_{BLS}(t) = m(t)\cos\omega_c t - m_h(t)\sin\omega_c t$$

 Um sistema SSB-SC pode ser representado pelo modelo indicado abaixo



• Na entrada do demodulador, considerando-se a Banda Lateral Inferior, o sinal $y_i(t)$ é dado por

$$y_i(t) = \varphi_{BLI}(t) + n(t)$$

= $[m(t) + n_c(t)] \cos \omega_c t + [m_h(t) + n_s(t)] \sin \omega_c t$

• Na demodulação, o sinal $y_i(t)$ é multiplicado por $2\cos\omega_c t$ e depois é filtrado (passa-baixas), resultando no sinal $y_o(t)$

$$2\cos\omega_c t y_i(t) = 2[m(t) + n_c(t)] \cos^2\omega_c t$$

$$+ 2[m_h(t) + n_s(t)] \sin\omega_c t \cos\omega_c t$$

$$= [m(t) + n_c(t)](1 + \cos 2\omega_c t)$$

$$+ [m_h(t) + n_s(t)] \sin 2\omega_c t$$

$$y_o(t) = m(t) + n_c(t)$$

As potências são calculadas da seguinte maneira:

$$S_{i} = \frac{1}{2} \overline{[2m(t)\cos\omega_{c}t]^{2}}$$

$$= 2\overline{[m(t)\cos\omega_{c}t]^{2}} = 2\overline{\frac{m^{2}(t)}{2}} = \overline{m^{2}(t)}$$

$$S_{o} = \overline{m^{2}(t)} = S_{i}, \quad N_{o} = \overline{n_{c}^{2}(t)}$$

• Para o ruído branco passa-faixa na banda $2\pi B$ rad/s, tem-se que:

$$\overline{n_c^2(t)} = \overline{n_s^2(t)} = \overline{n^2(t)} = \mathcal{N}B \Longrightarrow N_o = \mathcal{N}B$$

Assim, a SNR na saída do demodulador é dada por:

$$\frac{S_o}{N_o} = \frac{S_i}{NB} = \gamma$$

 Ou seja, para uma potência S_i fixada, a SNR na saída para sistemas AM-SSB-SC é igual à SNR para os sistemas em banda básica e AM-DSB-SC

Exemplo 12.1

Em um sistema DSB-SC, a freqüência da portadora é $f_c=500kHz$ e o sinal modulante m(t) tem uma DEP uniforme limitada em banda a 4kHz. O sinal modulado é transmitido através de um canal sem distorção com DEP do ruído $S_n(\omega)=1/(\omega^2+a^2)$, sendo $a=10^6\pi$. A potência do sinal útil na entrada do receptor é de $1\mu W$. O sinal recebido é passado através de um filtro passa-faixa, multiplicado por $2\cos\omega_c t$ e então é passado através de um filtro passa-baixas, resultando na saída $s_o(t)+n_o(t)$. Determine a SNR da saída.

Exemplo 12.1 - Solução

Seja $km(t)\cos\omega_c t$ o sinal recebido, então o sinal na entrada do demodulador é dado por:

$$y_i(t) = [km(t) + n_c(t)] \cos \omega_c t + n_s(t) \sin \omega_c t$$

Após a multiplicação por $2\cos\omega_c t$ e filtragem, o sinal de saída é dado por:

$$y_o(t) = km(t) + n_c(t)$$

Exemplo 12.1 - Solução

Tem-se ainda que:

$$S_{i} = \frac{k^{2}\overline{m^{2}(t)}}{2} = 10^{-6} \Longrightarrow k^{2}\overline{m^{2}(t)} = 2 \times 10^{-6}$$

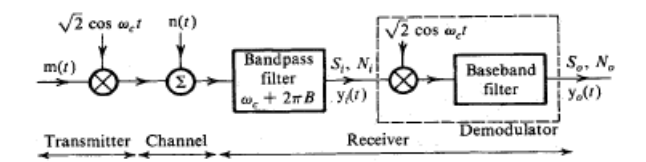
$$S_{o} = k^{2}\overline{m^{2}(t)} = 2 \times 10^{-6}$$

$$N_{o} = \overline{n_{c}^{2}(t)} = 2 \times \frac{1}{2\pi} \int_{\omega_{c}-2\pi B}^{\omega_{c}+2\pi B} \frac{1}{\omega^{2}+a^{2}} d\omega = 8 \times 10^{-10}$$

$$\frac{S_{o}}{N_{o}} = 2,5 \times 10^{3} \approx 34 dB$$

AM Tradicional

- Na modulação AM tradicional (com portadora), o sinal recebido pode ser demodulado de duas formas:
 - Demodulação síncrona ou coerente
 - Demodulação não coerente (detecção de envelope)
- A análise da demodulação síncrona pode ser feita de modo idêntico à feita para a modulação AM-DSB-SC



Na entrada do demodulador, o sinal y_i(t) é dado por

$$y_i(t) = \sqrt{2}[A + m(t)] \cos \omega_c t + n(t)$$

$$= \sqrt{2}[A + m(t) + \frac{n_c(t)}{\sqrt{2}}] \cos \omega_c t + n_s(t) \sin \omega_c t$$

• Na demodulação, o sinal $y_i(t)$ é multiplicado por $\sqrt{2}\cos\omega_c t$, depois é filtrado (passa-baixas) e em seguida é passado através de um bloqueador DC, resultando no sinal $y_o(t)$

$$\sqrt{2}\cos\omega_c t y_i(t) = 2[A + m(t) + \frac{n_c(t)}{\sqrt{2}}]\cos^2\omega_c t + \sqrt{2}n_s(t)\sin\omega_c t \cos\omega_c t$$

$$= [A + m(t) + \frac{n_c(t)}{\sqrt{2}}](1 + \cos 2\omega_c t) + \frac{n_s(t)}{\sqrt{2}}\sin 2\omega_c t$$

$$y_o(t) = m(t) + \frac{1}{\sqrt{2}}n_c(t)$$

As potências são calculadas da seguinte maneira:

$$S_{i} = \overline{[\sqrt{2}(A+m(t))\cos\omega_{c}t]^{2}}$$

$$= 2\frac{1}{2}\overline{[A+m(t)]^{2}} = \overline{A^{2}+2Am(t)+m^{2}(t)}$$

$$= A^{2}+2A\overline{m(t)}+\overline{m^{2}(t)} = A^{2}+\overline{m^{2}(t)}$$

$$S_{o} = \overline{m^{2}(t)}, \quad N_{o} = \frac{1}{2}\overline{n_{c}^{2}(t)}$$

• Para o ruído branco passa-faixa na banda $4\pi B$ rad/s, tem-se que:

$$\overline{n_c^2(t)} = \overline{n_s^2(t)} = \overline{n^2(t)} = 2NB \Longrightarrow N_o = NB$$

Assim, a SNR na saída do demodulador é dada por:

$$\frac{S_o}{N_o} = \frac{m^2(t)}{NB} = \frac{m^2(t)}{NB} \cdot \frac{S_i}{A^2 + \overline{m^2(t)}}$$

$$= \frac{\overline{m^2(t)}}{A^2 + \overline{m^2(t)}} \frac{S_i}{NB} = \frac{\overline{m^2(t)}}{A^2 + \overline{m^2(t)}} \gamma$$

$$\mu = \frac{m_p}{A}; 0 \le \mu \le 1 \Longrightarrow A \ge m_p$$

• A SNR máxima é obtida para $\mu = 1$ ou seja, $A = m_p$

Assim, a SNR na saída do demodulador é dada por:

$$\left(\frac{S_o}{N_o}\right)_{MAX} = \frac{m^2(t)}{m_\rho^2 + \overline{m^2(t)}} \gamma$$

Como

$$\frac{m_p^2}{\overline{m^2(t)}} \geq 1$$

Então

$$\frac{S_o}{N_o} \leq \frac{\gamma}{2}$$

 Ou seja, a SNR do AM tradicional é no mínimo 3dB inferior ao AM-DSB-SC



• Admitindo que o sinal enviado é $[A+m(t)]\cos \omega_c t$, o sinal $y_i(t)$ na entrada do demodulador é dado por

$$y_i(t) = [A + m(t)] \cos \omega_c t + n(t)$$

= $[A + m(t) + n_c(t)] \cos \omega_c t + n_s(t) \sin \omega_c t$

 As potências do sinal na entrada do demodulador é dada por:

$$S_i = \frac{1}{2} \overline{[A+m(t)]^2} = \frac{A^2 + \overline{m^2(t)}}{2}$$

O sinal y_i(t) pode ser representado na forma

$$y_i(t) = E_i(t) \cos [\omega_c t + \Theta_i(t)]$$

Com

$$E_i(t) = \sqrt{[A + m(t) + n_c(t)]^2 + n_s^2(t)}$$

$$\Theta_i(t) = -\arctan\left(\frac{n_s(t)}{A + m(t) + n_c(t)}\right)$$

• Quando o ruído é pequeno para quase todo t, $[A + m(t)] \gg n(t)$, então $E_i(t)$ pode ser aproximado por:

$$E_i(t) \simeq A + m(t) + n_c(t)$$

• O termo DC pode ser eliminado através de um capacitor, resultando em um sinal $y_o(t) = m(t) + n_c(t)$, assim

$$\begin{array}{lcl} S_o & = & \overline{m^2(t)}, & N_o = \overline{n_c^2(t)} = 2\mathcal{N}B \\ \frac{S_o}{N_o} & = & \frac{\overline{m^2(t)}}{2\mathcal{N}B} = \frac{\overline{m^2(t)}}{A^2 + \overline{m^2(t)}} \frac{S_i}{\mathcal{N}B} = \frac{\overline{m^2(t)}}{A^2 + \overline{m^2(t)}} \gamma \end{array}$$

 Ou seja, quando o ruído é pequeno, a SNR é a mesma da demodulação síncrona

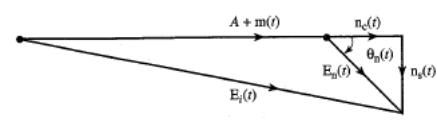
• Quando o ruído é elevado, $n(t) \gg [A + m(t)]$, então $E_i(t)$ pode ser aproximado por:

$$E_{i}(t) = \sqrt{[A + m(t) + n_{c}(t)]^{2} + n_{s}^{2}(t)}$$

$$= \sqrt{[A + m(t)]^{2} + 2[A + m(t)]n_{c}(t) + n_{c}^{2}(t) + n_{s}^{2}(t)}$$

$$\simeq \sqrt{n_{c}^{2}(t) + n_{s}^{2}(t) + 2[A + m(t)]n_{c}(t)}$$

$$= E_{n}(t)\sqrt{1 + \frac{2[A + m(t)]}{E_{n}(t)}\cos\Theta_{n}(t)}$$



• Como $E_n(t) \gg A + m(t)$ e $(1 + x)^n \approx 1 + nx$ para x pequeno, tem-se que:

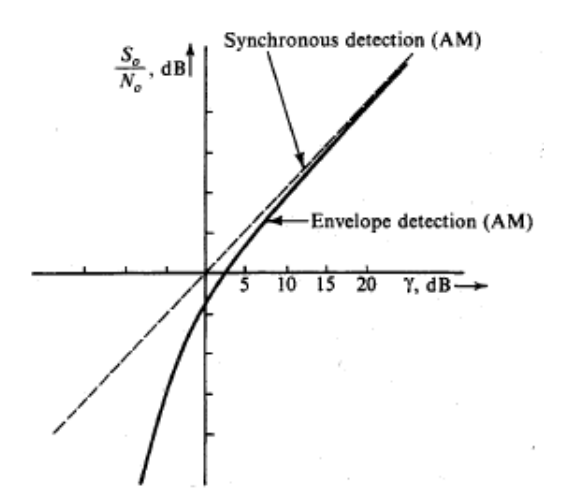
$$E_i(t) \simeq E_n(t) + [A + m(t)] \cos \Theta_n(t)$$

- Observa-se que a informação é completamente perdida, pois o sinal m(t) é multiplicado pelo ruído
- Nos casos intermediários, a SNR é dado por

$$\frac{S_o}{N_o} \simeq 0.916A^2 \overline{m^2(t)} \gamma^2$$

- O limiar da transição entre essas regiões ocorre quando γ é da ordem de 10dB
- Para um sinal AM de boa qualidade, γ é da ordem de 30dB





Exemplo 12.2

Obtenha γ_{Limiar} , o valor de γ no limiar para a modulação AM de um tom com $\mu=1$ se o início do limiar ocorre quando $E_n>A$ com probabilidade 0,01, sendo E_n o envelope do ruído.

Exemplo 12.2 - Solução

Se n_c e n_s são gaussianos com variância σ_n^2 , então E_n tem uma fdp de Rayleigh com variância σ_n^2 dada por:

$$p_{E_n}(E_n) = \frac{E_n}{\sigma^2} e^{-\frac{E_n^2}{2\sigma_n^2}}$$

Assim, a probabilidade de $E_n > A$ é dada por:

$$P(E_n > A) = \int_A^\infty p_{E_n}(E_n) dE_n = \int_A^\infty \frac{E_n}{\sigma^2} e^{-\frac{E_n^2}{2\sigma_n^2}} dE_n$$
$$= e^{-A^2/2\sigma_n^2} = 0,01 \Longrightarrow \frac{A^2}{2\sigma_n^2} = 4,605$$

Exemplo 12.2 - Solução

Como $\sigma_n^2 = 2NB$, então:

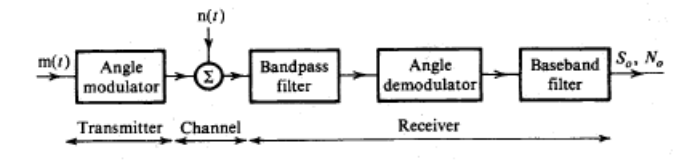
$$\frac{A^2}{4\mathcal{N}B} = 4,605$$

Para a modulação em tom com $\mu = 1$, tem-se:

$$m(t) = \mu A \cos(\omega_m t + \Theta) = A \cos(\omega_m t + \Theta)$$
 $S_i = \frac{A^2 + \overline{m^2(t)}}{2} = \frac{A^2 + 0.5A^2}{2} = \frac{3A^2}{4}$
 $\gamma_{Limiar} = \frac{S_i}{NB} = \frac{3A^2}{4NB} = 13.8 \ (12.4dB)$

Modulação em Ângulo

 Um sistema modulado em ângulo pode ser representado pelo modelo indicado abaixo



• O sinal modulado $\varphi_{EM}(t)$ pode ser representado por:

$$arphi_{EM}(t) = A\cos\left[\omega_{c}t + \psi(t)\right]$$

$$\psi(t) = \begin{cases} k_{p}m(t), & \text{PM} \\ k_{f}\int_{-\infty}^{0}m(\alpha)d\alpha, & \text{FM} \end{cases}$$

Modulação em Ângulo

• Como $B_{EM} = 2(\Delta f + B)$, com

$$\Delta f = \left\{ \begin{array}{l} rac{k_p m_p'}{2\pi}, & \mathsf{PM} \\ rac{k_l m_p}{2\pi}, & \mathsf{FM} \end{array}
ight\}$$

• O ruído n(t) pode ser modelado como um processo aleatório passa-faixa com largura de banda $2(\Delta f + B)$, assim:

$$n(t) = n_c(t) \cos \omega_c t + n_s(t) \sin \omega_c t = E_n(t) \cos [\omega_c t + \Theta_n(t)]$$

- Em que $n_c(t)$ e $n_s(t)$ são processos passa-baixas com largura de banda $2(\Delta f + B)$
- Como a modulação em ângulo é não linear, o princípio da superposição não pode ser aplicado para o cálculo da SNR da saída

Modulação em Fase

- Na modulação em fase, $\psi(t) = k_p m(t)$
- Como a modulação em banda estreita (NBPM) é aproximadamente linear, considera-se apenas nessa análise a modulação em banda larga (WBPM)
 - $\Delta f \gg B$
- Em WBPM, o sinal muda muito lentamente em relação ao ruído
 - $2(\Delta f + B)$ é a banda do ruído
 - 2B é a banda do sinal

Modulação em Fase

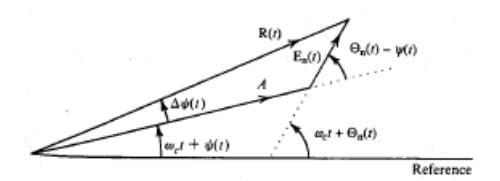
• O sinal $y_i(t)$ na estrada do demodulador é dado por:

$$y_i(t) = A\cos[\omega_c t + \psi(t)] + n(t)$$

$$= A\cos[\omega_c t + \psi(t)] + E_n(t)\cos[\omega_c t + \Theta_n(t)]$$

$$= R(t)\cos[\omega_c t + \psi(t) + \Delta\psi(t)]$$

O diagrama fasorial correspondente é mostrado abaixo



Modulação em Fase

• Quando o ruído é pequeno, $E_n(t) \ll A$ para quase todo t, então:

$$\Delta \psi(t) = \frac{s}{r} \simeq \frac{E_n(t) \sin \left[\Theta_n(t) - \psi(t)\right]}{A}$$

• O demodulador detecta a fase de $y_i(t)$, assim:

$$y_o(t) = \psi(t) + \Delta \psi(t) = k_p m(t) + \frac{E_n(t)}{A} \sin \left[\Theta_n(t) - \psi(t)\right]$$

• Como $\psi(t)$ varia mais lentamente que $\Theta_n(t)$, pois $B \ll 2(\Delta t + B)$, então $\psi(t) \sim \psi = \text{constante}$

Modulação em Fase

$$\Delta \psi(t) \simeq \frac{E_n(t)}{A} \sin \left[\Theta_n(t) - \psi\right]$$

$$= \frac{E_n(t)}{A} \sin \Theta_n(t) \cos \psi - \frac{E_n(t)}{A} \cos \Theta_n(t) \sin \psi$$

$$= \frac{n_s(t)}{A} \cos \psi - \frac{n_c(t)}{A} \sin \psi$$

• Para n(t) branco, $n_c(t)$ e $n_s(t)$ são não coerentes, logo:

$$\begin{array}{lcl} S_{\Delta\psi}(\omega) & = & \frac{\cos^2\psi}{A^2} S_{n_s}(\omega) + \frac{\sin^2\psi}{A^2} S_{n_c}(\omega) = \frac{S_{n_s}(\omega)}{A^2} = \frac{S_{n_c}(\omega)}{A^2} \\ S_{\Delta\psi}(\omega) & = & \left\{ \begin{array}{ll} \frac{\mathcal{N}}{A^2}, & -2\pi(\Delta f + B) \leq \omega \leq 2\pi(\Delta f + B) \\ 0, & c.c \end{array} \right\} \end{array}$$

Modulação em Fase

 Após a passagem do sinal de saída do modulador pelo filtro passa-baixas, o ruído na saída se concentra apenas na banda B, logo:

$$S_{n_o}(\omega) = \left\{ egin{array}{ll} rac{\mathcal{N}}{\mathcal{A}^2}, & -2\pi B \leq \omega \leq 2\pi B \ 0, & c.c \end{array}
ight\}$$

Finalmente, a SNR na saída é calculada como:

$$N_o = \frac{2NB}{A^2}$$

$$S_o = \overline{\psi^2(t)} = \overline{k_p^2 m^2(t)} = k_p^2 \overline{m^2(t)}$$

$$\frac{S_o}{N_o} = \frac{k_p^2 \overline{m^2(t)} A^2}{2NB} = k_p^2 A^2 \frac{\overline{m^2(t)}}{2NB}$$

Modulação em Fase

 A relação da SNR com a potência de entrada é obtida a seguir:

$$S_{i} = \overline{[A\cos[\omega_{c}t + \psi(t)]]^{2}} = \frac{A^{2}}{2}$$

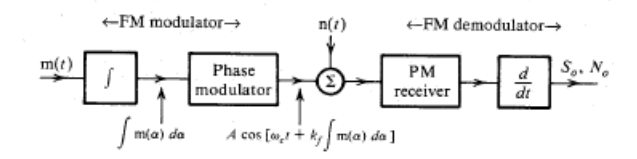
$$\gamma = \frac{S_{i}}{NB} = \frac{A^{2}}{2NB}$$

$$\frac{S_{o}}{N_{o}} = k_{p}^{2}\overline{m^{2}(t)}\gamma = (\Delta\omega)^{2}\left(\frac{\overline{m^{2}(t)}}{(m'_{o})^{2}}\right)\gamma$$

• Pode-se observar que a SNR aumenta em 6dB quando dobra-se a banda do sinal PM, $\Delta\omega$

Modulação em Freqüência

- Caso especial da modulação em fase quando o sinal modulante é $\int_{-\infty}^t m(\alpha) d\alpha$
- Considera-se nessa análise o caso do FM banda larga (WBFM), $\Delta f \gg B$
- Quando o ruído é pequeno, a demodulação pode ser feita utilizando-se o receptor PM utilizado anteriormente seguido de um diferenciador resultando na saída $k_f m(t)$, logo $S_o = k_f^2 \overline{m^2(t)}$

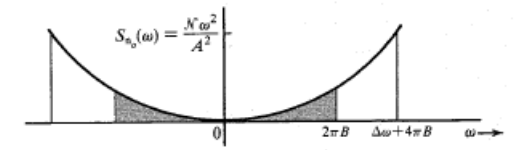


Modulação em Freqüência

 A DEP e a potência do ruído na saída do diferenciador são dadas por:

$$S_{n_o}(\omega) = \begin{cases} \frac{N}{A^2}\omega^2, & -2\pi B \le \omega \le 2\pi B \\ 0, & c.c \end{cases}$$

$$N_o = \frac{1}{2\pi} \int_{-2\pi B}^{2\pi B} \frac{N}{A^2} \omega^2 d\omega = \frac{8\pi^2 N B^3}{3A^2}$$



Modulação em Freqüência

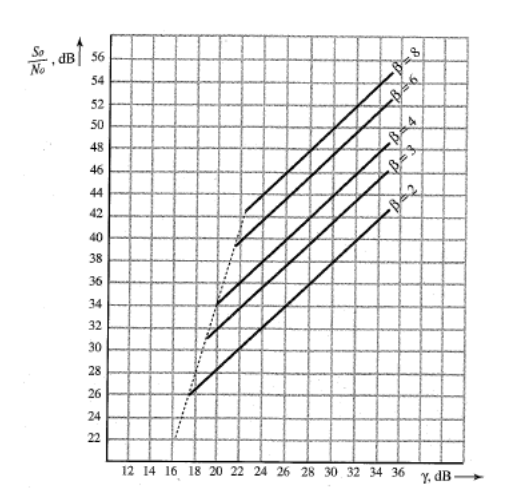
• Finalmente, a SNR na saída é dada por:

$$\frac{S_o}{N_o} = \frac{3A^2k_f^2\overline{m^2(t)}}{8\pi^2\mathcal{N}B^3} = \frac{3k_f^2\overline{m^2(t)}}{(2\pi B)^2} \frac{A^2}{2\mathcal{N}B}$$

$$= 3\left(\frac{\Delta f}{B}\right)^2\left(\frac{\overline{m^2(t)}}{m_D^2}\right)\gamma = 3\beta^2\gamma\left(\frac{\overline{m^2(t)}}{m_D^2}\right)$$

 Observa-se que ao dobrar a largura de banda, aumenta-se a SNR em 6dB

Desempenho de um Sistema FM para a Modulação de um Tom



Modulação em Ângulo de Banda Estreita

- Para as modulações em ângulo de banda estreita, NBPM e NBFM, a análise é similar à feita para o AM
- Para NBPM, se $m_1(t) = Ak_p m(t)$, então:

$$\left(\frac{S_o}{N_o}\right)_{PM} = \frac{\overline{m_1^2(t)}}{A^2 + \overline{m_1^2(t)}} \gamma$$

 Esta expressão é similar à obtida para AM, substituindo-se m(t) por m₁(t)

Comparação entre FM e PM

 Para as modulações em ângulo de banda larga, foram obtidas as seguintes expressões para a SNR de saída:

$$\left(\frac{S_o}{N_o}\right)_{PM} = (\Delta\omega)^2 \left(\frac{\overline{m^2(t)}}{(m_p')^2}\right) \gamma, \ \left(\frac{S_o}{N_o}\right)_{FM} = 3 \left(\frac{\Delta f}{B}\right)^2 \left(\frac{\overline{m^2(t)}}{m_p^2}\right) \gamma$$

• Considerando a mesma banda para ambas as modulações e o fato que $\Delta \omega = 2\pi \Delta f$, então:

$$\frac{(S_o/N_o)_{PM}}{(S_o/N_o)_{FM}} = \frac{(2\pi B)^2 m_p^2}{3(m_o')^2}$$

Comparação entre FM e PM

 A partir dessa expressão, verifica-se que PM é superior ao FM se:

$$(2\pi B)^2 m_p^2 > 3(m_p')^2$$

- Se a DEP de m(t) é concentrada em baixas freqüências, as componentes de baixa freqüência predominam em m(t) e m_p' é pequeno
 - PM é superior nesse caso
- Se a DEP de m(t) é concentrada em altas freqüências, então FM é superior

Exemplo 12.3

Para um processo aleatório gaussiano m(t) como sinal modulante, determine a SNR de saída para a modulação FM admitindo-se que o ruído é gaussiano branco.

Exemplo 12.3 - Solução

Para m(t) gaussiano, $m_p=\infty$. Mas como $P(|m|<3\sigma_m)=0,9973$, pode-se considerar que $m_p=3\sigma_m$. Assim:

$$\left(\frac{S_o}{N_o}\right)_{FM} \ = \ 3\beta^2 \gamma \left(\frac{\overline{m^2(t)}}{m_p^2}\right) = 3\beta^2 \gamma \frac{\sigma_m^2}{(3\sigma_m)^2} = \frac{1}{3}\beta^2 \gamma$$

- Existem várias definições de largura de banda para sinais
 - Largura de banda de 3dB
 - Largura de banda essencial
- Para sistemas modulados em ângulo, uma definição mais adequada é a largura de banda média quadrática
 - Essa definição é motivada pelo fato do desvio padrão ser uma boa medida da largura de uma fdp
 - A largura de banda média quadrática representa a variância do espectro normalizado (com área unitária)

• A largura de banda média quadrática para um sinal m(t), denotada por $\overline{B_m^2}$ é dada pela seguinte expressão:

$$\overline{B_m^2} = \frac{\int_{-\infty}^{\infty} f^2 S_m(2\pi f) df}{\int_{-\infty}^{\infty} S_m(2\pi f) df} Hz = \frac{1}{\overline{m^2(t)}} \int_{-\infty}^{\infty} f^2 S_m(2\pi f) df Hz$$

 Pode-se mostrar que as modulações FM e PM, a largura de banda média quadrática é dada por:

$$\begin{array}{lcl} \overline{B_{FM}^2} & = & \frac{1}{4\pi^2} k_f^2(\overline{m^2(t)}) \\ \overline{B_{PM}^2} & = & k_p^2(\overline{m^2(t)}) \overline{B_m^2} \end{array}$$

- A largura de banda real da transmissão pode ser expressada em termos de $\overline{B_{FM}^2}$ e $\overline{B_{PM}^2}$
 - 6 desvios padrões $B_T=6\sqrt{\overline{B_{FM}^2}}$ para FM e $B_T=6\sqrt{\overline{B_{PM}^2}}$ para PM
- A SNR para PM e FM podem ser expressadas em termos das larguras de banda médias quadráticas como:

$$\begin{split} &\left(\frac{S_o}{N_o}\right)_{PM} &= k_p^2 \overline{m^2(t)} \gamma = \frac{\overline{B_{PM}^2}}{\overline{B_m^2}} \gamma \\ &\left(\frac{S_o}{N_o}\right)_{FM} &= 3 \frac{k_f^2 \overline{m^2(t)}}{(2\pi B)^2} \gamma = 3 \frac{\overline{B_{FM}^2}}{B^2} \gamma \end{split}$$

 Pode-se comparar o desempenho do FM com PM através da seguinte razão

$$\frac{(S_o/N_o)_{PM}}{(S_o/N_o)_{FM}} \ = \ \Big(\frac{B^2}{3\overline{B_m^2}}\Big)\Big(\frac{B_{PM}^2}{\overline{B_{FM}^2}}\Big)$$

Para a mesma largura de banda de transmissão, tem-se:

$$\frac{(S_o/N_o)_{PM}}{(S_o/N_o)_{FM}} = \left(\frac{B^2}{3\overline{B_m^2}}\right)$$

• Assim PM é superior ao FM se $B^2 > 3\overline{B_m^2}$

Exemplo 12.4

Para um sinal passa-baixas com DEP $S_m(\omega) = rect(\omega/4\pi B)$, mostre que $\overline{B_m^2} = B^2/3$

Exemplo 12.4 - Solução

$$\overline{B_m^2} = \frac{\int_{-B}^B f^2 df}{\int_{-B}^B df} = \frac{2B^3}{6B} = \frac{B^2}{3}$$

Exemplo 12.5

Para um sinal m(t) com DEP gaussiana $S_m(\omega) = ke^{-\omega^2/2\sigma^2}$, mostre que

$$\overline{B_m^2} = \left(\frac{\sigma}{2\pi}\right)^2$$

Exemplo 12.5 - Solução

Sabe-se que para uma fdp gaussiana com média nula e variância σ^2 , as seguintes condições são verificadas

$$\int_{-\infty}^{\infty} \frac{1}{\sigma\sqrt{2\pi}} e^{-\frac{x^2}{2\sigma^2}} = 1 \Longrightarrow \int_{-\infty}^{\infty} e^{-\frac{x^2}{2\sigma^2}} = \sigma\sqrt{2\pi}$$

$$\int_{-\infty}^{\infty} \frac{1}{\sigma\sqrt{2\pi}} x^2 e^{-\frac{x^2}{2\sigma^2}} = \sigma^2 \Longrightarrow \int_{-\infty}^{\infty} x^2 e^{-\frac{x^2}{2\sigma^2}} = \sigma^3\sqrt{2\pi}$$

Exemplo 12.5 - Solução

$$\overline{B_{m}^{2}} = \frac{k \int_{-\infty}^{\infty} f^{2} e^{-\frac{4\pi^{2} f^{2}}{2\sigma^{2}}} df}{k \int_{-\infty}^{\infty} e^{-\frac{4\pi^{2} f^{2}}{2\sigma^{2}}} df} (x = 2\pi f)$$

$$= \frac{1}{4\pi^{2}} \frac{\int_{-\infty}^{\infty} x^{2} e^{-\frac{x^{2}}{2\sigma^{2}}} dx}{\int_{-\infty}^{\infty} e^{-\frac{x^{2}}{2\sigma^{2}}} dx} = \frac{1}{4\pi^{2}} \frac{\sigma^{3} \sqrt{2\pi}}{\sigma \sqrt{2\pi}} = \left(\frac{\sigma}{2\pi}\right)^{2}$$

Exemplo 12.6

Se um sinal em banda básica m(t) tem uma DEP gaussiana, mostre que PM é superior a FM por um fator de 3 quando a largura de banda B é 3σ , sendo σ o desvio padrão da DEP normalizada de m(t)

Exemplo 12.6 - Solução

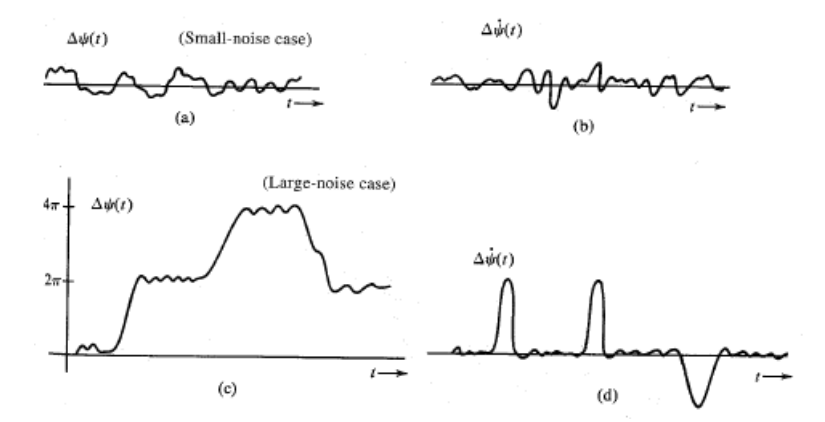
 $S_m(\omega)=ke^{-\omega^2/2\sigma^2}$. A largura de banda em radianos $W=2\pi B=3\sigma\Longrightarrow B=3\sigma/(2\pi)$

$$\overline{B_m^2} = \left(\frac{\sigma}{2\pi}\right)^2 \Longrightarrow \frac{(S_o/N_o)_{PM}}{(S_o/N_o)_{FM}} = \left(\frac{B^2}{3\overline{B_m^2}}\right) = 3$$

Limiar na Modulação em Ângulo

- Na análise realizada para WBFM e WBPM, admitiu-se que o ruído era muito pequeno comparado à amplitude da portadora (E_n « A)
- Quando o ruído se torna considerável, aumenta a probabilidade do fasor resultante rotacionar em torno da origem
- O resultado disso é o surgimento de picos de ruído na saída do demodulador
- Picos de ruído possuem uma potência considerável em baixas freqüências

Limiar na Modulação em Ângulo

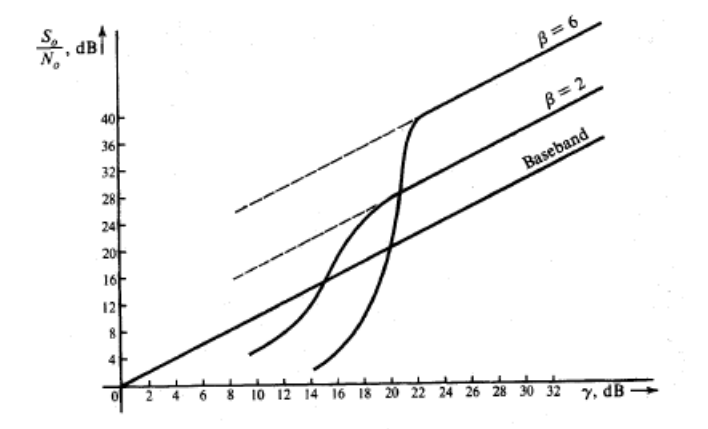


Limiar na Modulação em Ângulo

- Assim, quando E_n se aproxima do valor de A, o ruído na saída cresce desproporcionadamente
- Esse efeito é conhecido como o efeito do limiar para a modulação FM
- Abaixo de um certo valor de γ , a relação sinal ruído se deteriora em razão do aumento do ruído na saída
 - Diz-se que o sistema está no limiar
- O valor de γ_{LIMIAR} é dado por:

$$\gamma_{LIMIAR} = 20(\beta + 1)$$

Fenômeno do Limiar em FM



Exemplo 12.7

Um sinal gaussiano m(t) com carregamento (loading) 4σ ($m_p=4\sigma$) modula em freqüência uma portadora usando $\beta=4$. A SNR de saída obtida é de 20,5dB. Determine se o sistema está no limiar.

Exemplo 12.7 - Solução

Para $\beta=4$, $\gamma_{LIMIAR}=20(4+1)=100=20$ dB. Usando esse valor, obtém-se uma SNR limite de:

$$\left(\frac{S_o}{N_o}\right) = 3(4)^2(100)\frac{1}{4^2} = 300 = 24,77dB$$

Como a SNR de saída (20,5dB) é menor (24,77dB), o sistema está no limiar.